

()

amortezaali@yahoo.com :

(دریافت مقاله: ۱۳۸۷/۱۲/۷؛ دریافت نسخه نهایی: ۱۳۸۹/۲/۲۱)

(R)	$\gamma A^\circ / \text{sec}$	Carry ۵۰۰	$200\text{nm} < \lambda < 300\text{nm}$	% /
$(k \ n)$		(K.K.)		$(\varepsilon_1 \ \varepsilon_2)$
$E > 2\text{eV}$		n	k	
n				ε_1
$E > 4\text{eV}$				

نیم اندود تابشگرهای UV و آینه‌های تلسکوپ [۲] قطبشگرها، قطعات فعال نوری، فیلترهای اپتیکی، مدارهای میکروالکترونیک و اپتیک تجمعی را نام برد. کارهای متعددی از پیش از سه دهه گذشته تا کنون روی خواص اپتوالکترونیکی فلزات، فلزات نجیب و مخصوصاً مس کپه‌ای انجام شده است که از آنها می‌توان به خواص الکترون آزاد درود [۱و۳] و انحراف از آن [۴]، اثرات پراکندگی الکترون-فونون [۵]، تأثیر دمای زیرلایه بر نوع ساختار سطحی مس و مورفولوژی آن [۶]، تأثیر دمای زیرلایه بر خواص اپتیکی لایه‌های نازک مس و نقره [۷]، مشخصه‌های لایه‌های نازک

اندازه‌گیری ثابت‌های اپتیکی فلزات نجیب از جمله مس از زمان درود شروع شد و تلاش برای بالا بردن دقیق اندازه‌گیری و مقایسه نتایج تجربی و نظری ادامه یافت [۱]. با توجه به اینکه ساختار، خواص فیزیکی و به خصوص اپتیکی لایه‌های نازک را می‌توان بر حسب زیرلایه، دما، ضخامت، آهنگ انباشت و دیگر پارامترها به منظور دستیابی به مشخصه‌های فیزیکی مطلوب به میزان قابل توجهی تغییر داد، این ویژگی‌ها اساس توسعه کاربردهای لایه‌های نازک را تشکیل می‌دهند. از جمله این کاربردها می‌توان پوشش لایه‌های فلزی در آینه‌های

تجربی نیز معمولاً در بازه محدودی از انرژی $E_1 \leq E' \leq E_2$ است، R در خارج از این محدوده باید بروندیابی شود. E_1 به ترتیب حد پایین و بالایی است که $R(E)$ را می‌توان اندازه‌گیری کرد.

در انرژی‌های خیلی پایین فرض می‌کنیم بازتابندگی برای فلزات به سمت یک میل می‌کند. برای انرژی‌های بالا ($E_2 \leq E$) یکی از روش‌های بروندیابی، روش قانون توانی می‌باشد که به صورت زیر است [۹]:

$$R(E) = R(E_2) \left(\frac{E_2}{E} \right)^m, \quad (4)$$

که در آن $R(E_2)$ بازتابندگی مربوط به حد بالای فرکانس (انرژی) قابل اندازه‌گیری می‌باشد و m توان رابطه را می‌توان با روش آزمون و خطأ و یا تجزیه و تحلیل فیزیکی معین نمود [۹].

با داشتن $R(E)$ و $\theta(E)$ می‌توان n و k را با استفاده از روابط زیر به دست آورد [۱۰]:

$$n = \frac{1-R}{1+R-2\sqrt{R}\cos\theta}, \quad k = \frac{-2\sqrt{R}\sin\theta}{1+R-2\sqrt{R}\cos\theta}, \quad (5)$$

و سپس با معلوم شدن بخش‌های حقیقی و موهومی ضریب شکست لایه می‌توان ثابت دی‌الکتریک (ϵ) را که با روابط $\epsilon_2 = 2nk$, $\epsilon_1 = n^2 - k^2$, $\epsilon = \epsilon_1 + i\epsilon_2$, به ضریب شکست لایه مربوط می‌شوند را به دست آورد و به این طریق تمام ثابت‌های اپتیکی لایه مشخص می‌شوند.

برای لایه‌نشانی از زیرلایه شیشه لامل میکروسکوپ استفاده کردیم. زیرلایه‌ها را با استفاده از استن، اتانول و آب مقطر تمیز کردیم. لایه‌نشانی به روش تبخیر در خلا انجام شد. دستگاه تبخیر مورد استفاده HIVAC مدل ۱۲A۴D بود که حداقل فشار قابل دسترسی آن 10^{-4} mbar می‌باشد. لایه‌نشانی در ضخامت‌های 12nm , 18nm و 40nm با آهنگ $2\text{A}^\circ/\text{sec}$ انجام شد. طیف بازتابی ($R(\lambda)$) را با زاویه تابش تقریباً صفر در بازه طول موج $200\text{nm} < \lambda < 3000\text{nm}$ با دستگاه Carry500 به دست آورده‌یم و سپس با استفاده از روش K.K. ضرایب اپتیکی و دی‌الکتریکی نمونه‌های ساخته شده را به دست آورده‌یم.

مس و خواص اپتیکی آن به عنوان تابعی از آهنگ لایه‌نشانی [۸]، ثابت‌های اپتیکی مؤثر لایه‌های نازک نقره [۹]، خواص اپتیکی لایه‌های نازک نقره لایه‌نشانی شده به روش کند و پاش [۱۰]، خواص اپتیکی و ساختاری لایه‌های نازک اکسید مس که به وسیله اکسیداسیون لایه‌های فلزی رشد داده شده‌اند [۱۱]. مطالعات اپتیکی روی لایه‌های نازک مس بر زیرلایه سیلیکان (۱۱۱) [۱۲]، اثر ابعاد لایه‌های نانویی مس بر روی ثابت‌های مختلط اپتیکی و گذره‌ی در ناحیه مادون قرمز [۱۳] اشاره کرد. در این مقاله به بررسی خواص اپتیکی لایه‌های نازک مس بر حسب ضخامت و مقایسه میان لایه‌های نازک و نمونه حجمی، با روش کرایمرز کرونیگ می‌پردازیم.

یکی از مهم‌ترین روش‌های تعیین ثابت‌های اپتیکی، روش کرایمرز کرونیگ می‌باشد. با این روش می‌توان در تمام بسامدها قسمت حقیقی تابع پاسخ نوری را با داشتن قسمت مجازی وبالعکس به دست آورد [۸]. رابطه کرایمرز کرونیگ در واقع به صورت انتگرالی زیر می‌باشد:

$$R_l(E) = -\frac{\epsilon E}{\pi} P \int_{E'-E}^{\infty} \frac{R_r(E') - R_r(E)}{E'^2 - E^2} dE', \quad (1)$$

اگر ضریب بازتاب فرنل را به شکل قطبی بنویسیم، به رابطه زیر می‌رسیم:

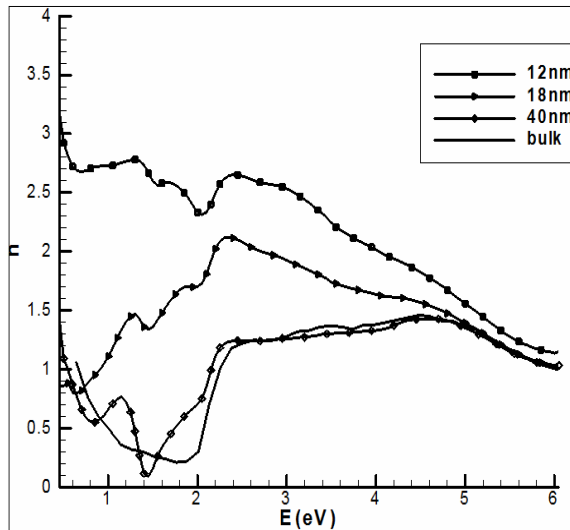
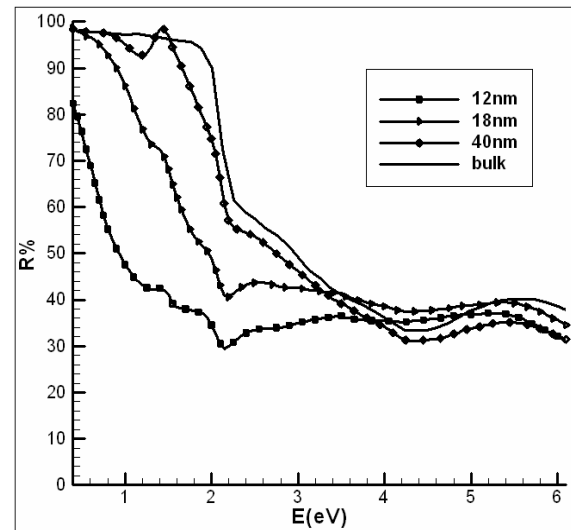
$$r(E) = R^{1/2}(E) e^{i\theta(E)}, \quad (2)$$

که در آن $\theta(E)$ زاویه فاز و $R(E)$ بازتابندگی است که به ترتیب مربوط به بخش موهومی و حقیقی رابطه کرایمرز کرونیگ می‌باشدند.

با گرفتن لگاریتم از دو طرف معادله (۲)، و به کارگیری رابطه (۱) در آن به رابطه

$$\theta(E) = -\frac{\epsilon E}{\pi} P \int_{E'-E}^{\infty} \frac{\ln(R(E')) - \ln(R(E))}{E'^2 - E^2} dE', \quad (3)$$

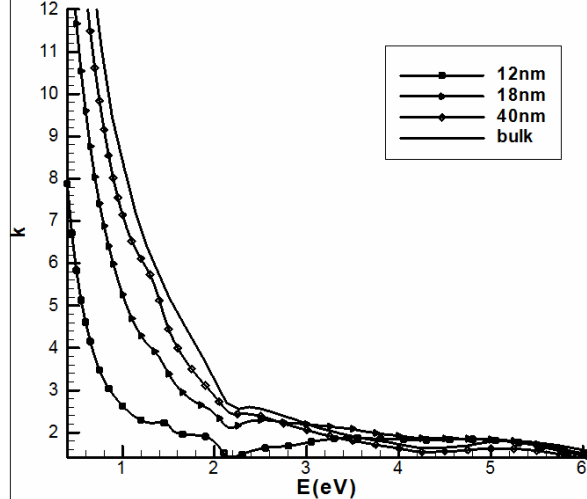
می‌رسیم. در رابطه (۳) انتگرال روی همه بسامدها است، اما به دلیل اینکه $R(E)$ روی کل طیف نامعلوم است و داده‌های

شکل ۲. نمودار بخش حقیقی ضریب شکست (n) بر حسب انرژی.

شکل ۱. نمودار ضریب بازتاب بر حسب انرژی.

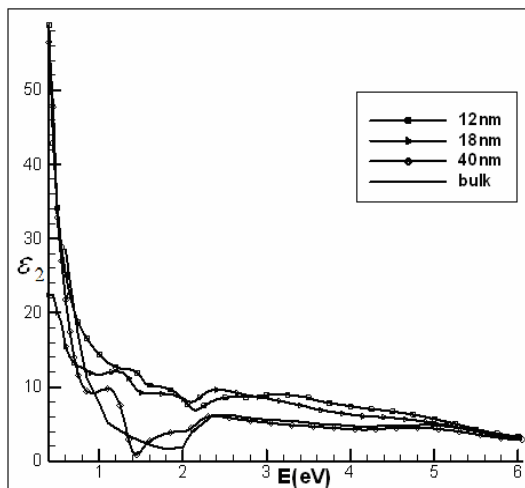
باشد. به ازای $E < 2\text{eV}$ تغییرات نامنظمی در نمودارهای بازتاب لایه‌های نازک دیده می‌شود که در نمودار مربوط به نمونه حجمی وجود ندارد. این تغییرات نامنظم بیشتر به خواص ساختار دانه‌ای و میکروحفرهای سطحی لایه نازک و شرایط انباست مرتب می‌شود [۱۱]. با کاهش انرژی، در بازتاب نمونه حجمی دیده می‌شود که این افزایش شدیدی در بازتاب نمونه‌های نازک ملایم‌تر است. کاهش ناگهانی ضریب بازتاب نمونه‌ها در انرژی $E \approx 2/15\text{eV}$ نشانه‌ای از آستانه گذار بین نواری می‌باشد که با نتایج مرجع [۱۲] مطابقت دارد. شکل‌های ۲ و ۳ بخش حقیقی و موهومی ضریب شکست (k, n) را بر حسب انرژی نشان می‌دهد.

در مورد بخش حقیقی ضریب شکست, n , نیز به ازای $E < 2\text{eV}$ تغییرات نامنظمی به دلیل ساختار دانه‌ای در نمودارهای لایه‌های نازک دیده می‌شود که در نمودار مربوط به نمونه حجمی وجود ندارد. در انرژی‌های بیشتر با افزایش ضخامت, n کم می‌شود و نمودار مربوط به ضخامت 40nm بر نمودار نمونه حجمی منطبق می‌شود. با کاهش انرژی در $E \approx 2\text{eV}$ که مربوط به نور قرمز است (مس در نور سفید به رنگ قرمز است)، هم در نمودارهای لایه‌های نازک و هم در نمودار مربوط به نمونه حجمی کاهش سریعی دیده می‌شود. با

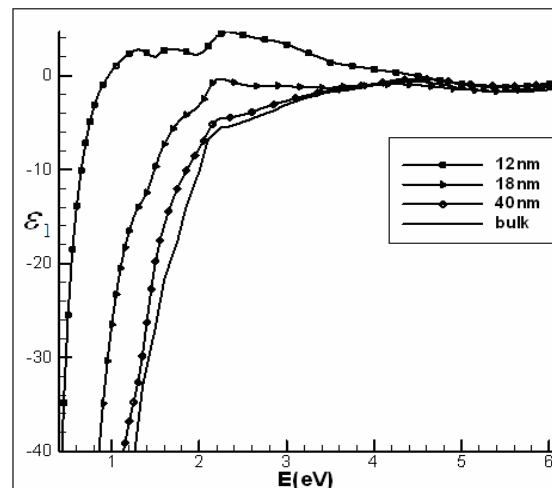
شکل ۳. نمودار بخش موهومی ضریب شکست (k) بر حسب انرژی.

برای محاسبه ضرایب اپتیکی و دی‌الکتریکی با روش کرایمرز کرونیگ از برونویابی به روش قانون توانی استفاده می‌شود. توان رابطه توانی را با روش آزمون و خطابه و سیله برنامه کامپیوترا $m = 2 \pm 0/1$ به دست آوردیم. شکل ۱ طیف ضریب بازتاب بر حسب انرژی را نشان می‌دهد.

به طور کلی بازتاب لایه‌های نازک کمتر از نمونه حجمی است و هرچه ضخامت زیاد می‌شود، R هم زیاد می‌شود و به نمونه حجمی نزدیک می‌شود. به نظر می‌رسد کاهش بازتاب لایه‌های نازک به دلیل پراکندگی و عبور بیشتر لایه‌های نازک



شکل ۵. نمودار بخش موهومی ضریب دیالکتریک (ϵ_2) بر حسب انرژی.



شکل ۶. نمودار بخش حقیقی ضریب دیالکتریک (ϵ_1) بر حسب انرژی.

که از شکل های ۲ و ۳ به خوبی قابل مشاهده می باشد. البته هرچه لایه نازک تر باشد نمودار ϵ_1 لایه نازک در انرژی بالاتری بر نمودار نمونه حجمی منطبق می شود.

بخش موهومی ضریب دیالکتریک، ϵ_2 ، به ازای $E > 2\text{eV}$ در ضخامت های مختلف تفاوت کمی دارد و تقریباً می توان گفت که با افزایش ضخامت، ϵ_2 کم می شود و به سمت ϵ_2 نمونه حجمی میل می کند و نمودار ضخامت 40nm بر نمودار نمونه حجمی میل می کند و نمودار ضخامت 40nm بر نمودار لایه های نازک تغییرات نامنظمی دیده می شود که در نمودار مربوط به نمونه حجمی وجود ندارد.

از شکل های ۱ تا ۵ نتیجه می شود که در بازه انرژی $2\text{eV} \leq E \leq 5\text{eV}$ در نمودارهای R ، k ، n ، ϵ_1 و ϵ_2 به ازای ضخامت های مختلف تفاوت چشمگیری وجود دارد، اما در انرژی های بالاتر نمودارها تقریباً همگرا می باشند و خواص لایه های نازک به خواص حجمی نزدیک می شود. شکل ۶ نمودار ϵ_1 بر حسب λ را نشان می دهد.

باتوجه به رابطه

$$\epsilon_1 \approx \epsilon_\infty - \frac{\omega_p^2}{\omega^2} = \epsilon_\infty - \frac{\lambda^2}{\lambda_p^2}, \quad (7)$$

$$\epsilon_1 \approx \frac{\omega_p^2}{\omega^2 \tau} = \frac{\lambda^2}{\lambda_p^2 \tau},$$

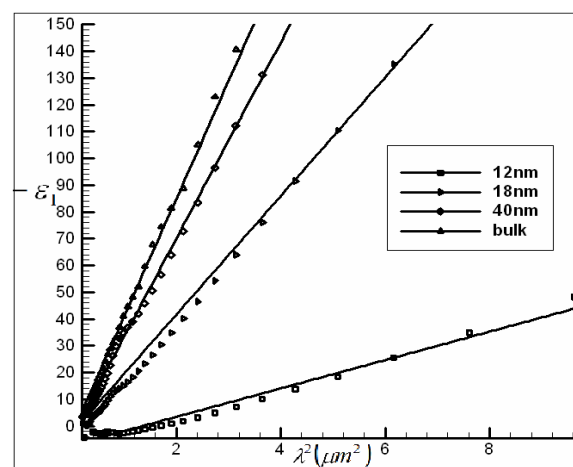
افزایش ضخامت میزان کاهش بیشتر است. در بازه $E > 2\text{eV}$ ، با افزایش انرژی، n برای لایه های بسیار نازک کاهش می یابد و برای همه نمونه ها در انرژی های زیاد به یک می گراید.

به ازای $E < 2\text{eV}$ با افزایش ضخامت k زیاد می شود و در انرژی های بالاتر این ضریب برای ضخامت های مختلف تقریباً یکسان است و نزدیک به یک می گراید. این نتیجه با نتایج شکل های ۲ و ۴ که در آنها در انرژی های زیاد، n به یک و ϵ_1 به صفر می گراید، مطابقت دارد. شکل های ۴ و ۵ بخش حقیقی و موهومی ضریب دیالکتریک (ϵ_1, ϵ_2) را بر حسب انرژی نشان می دهد.

بخش حقیقی ضریب دیالکتریک، ϵ_1 ، در بازه انرژی نشان داده شده، برای نمونه حجمی و لایه های نازک (به جز بازه محدودی از انرژی برای ضخامت 12nm) منفی است. با توجه به رابطه $\epsilon_1 = n^2 - k^2$ ، $\epsilon_1 < 0$ معادل با $k > n$ است و نشان می دهد که نمونه ها نسبت به این طول موج ها کدر هستند و بازتاب نسبتاً خوبی دارند. در مورد ضخامت 12nm در بازه ای از انرژی به دلیل ساختار دانه ای مثبت است که به نظر می رسد اثر زیر لایه غالب می باشد. با افزایش ضخامت، ϵ_1 کم می شود و به ϵ_1 نمونه حجمی نزدیک می شود. در انرژی های بالاتر از حدود $3/2\text{eV}$ یعنی انرژی های بالاتر از ناحیه مرئی نمودارهای نمونه حجمی و لایه های نازک بر هم منطبق می شوند و به صفر می گرایند که این نتیجه معادل است با

جدول ۱. بسامد پلاسمای لایه‌های نازک و نمونه حجمی.

	$\left(\frac{1}{\lambda_p} (\mu m^{-1}) \right)$	شیب نمودار	$\hbar\omega_p (eV)$
نمونه حجمی	۴۰/۱	۸/۰	
D = ۴۰nm	۳۷/۸	۷/۶	
D = ۱۸nm	۲۳/۲	۶/۰	
D = ۱۲nm	۵/۰	۲/۹	

شکل ۶. نمودار ϵ_1 - بر حسب λ^2 .

۱. برای همه ضخامت‌های لایه‌های نازک مس آستانه گذاری‌نواری از انرژی $E \geq 2eV$ شروع می‌شود.
۲. با افزایش ضخامت R و k افزایش می‌یابند در حالی که n کاهش می‌یابند و ϵ_1 مقادیر منفی بزرگتری به خود می‌گیرد و بسامد پلاسمای زیاد می‌شود، و در ضخامت ۴۰nm به بسامد پلاسمای نمونه حجمی بسیار نزدیک است.
۳. به دلیل ناپیوستگی لایه و اثرات سطحی مانند تشکیل دانه‌ها، جزیره‌ها و تخلخل‌ها ضرایب اپتیکی و دی‌الکتریکی لایه‌های نازک در بازه $E < 2eV$ تغییرات قابل توجهی نسبت به حالت حجمی از خود نشان می‌دهند.
۴. خواص اپتیکی لایه نازک مس ۴۰nm به خواص مس حجمی بسیار نزدیک است.

که از نظریه درود به دست می‌آید نتایج به دست آمده از نمودار فوق به صورت زیر است:

همان‌طور که از جدول ملاحظه می‌شود، بسامد پلاسمای لایه‌های نازک کوچکتر از نمونه حجمی است. از آنجا که $\epsilon_1 = \frac{4\pi Ne^2}{m_e}$ است و چگالی الکترون (N) لایه‌های نازک به دلیل ناهمگنی محیط و وجود تخلخل و حفره‌ها کمتر از نمونه حجمی است، این موضوع بدیهی به نظر می‌آید. با افزایش ضخامت بسامد پلاسمای زیاد می‌شود، چنانچه بسامد پلاسمای ضخامت ۴۰nm به بسامد پلاسمای نمونه حجمی بسیار نزدیک است.

198-206.

10. C Charton, M Fahland, *Surface and Coating Technology* **174-175** (2003) 181.
11. G Papadimitopoulos, N Vourdas, V Em Vamvakas, D Davazoglou, *Thin Solid Films* **515** (2006) 2428.
12. A Masten, P Wissmann, *Applied Surface Science* **179** (2001) 68.
13. H Du, S W Lee, J Gong, C Sun, L S Wen, *Matter Lett.* **58** (2004) 1117.
14. L Ward, "The Optical Constants of Bulk Materials & Films", IOP Publishing Ltd (1998).
15. E D Palik, "Handbook of Optical Constants of Solids", Academic Press, INC (1985).
16. F Abeles, "Optical Properties of Solid", North Holand Publishing Co. (1972).

1. P B Johnson and R W Christy, *Phys. Rev. B* **6** (1972) 4370.
2. L P Sung, M E Nadal, M E McKnight, E Marx-Brentlaurenti, *J. Coat. Technol.* **74** (2002) 55.
3. S Roberts, *Phys. Rev.* **118**, 6 (1960) 1509.
4. A B Pippard, Phil. *Trans. Roy. Soc (London)* A **250** (1957) 325.
5. R T Beach and R W Christy, *Phys. Rev. B* **16** (1977).
6. P B Johnson and R W Christy, *Phys. Rev. B* **11** (1975) 1315.
7. H Savaloni and Ahmad Reza Khakpour, *Eur. J. Appl. Phys.* **31** (2005) 101-112.
8. H Savaloni, F Babaei, S Song, F Placido, *Applied Surface Science* **255** (2009) 8041.
9. Maaroof, G B Smith, *Thin Solid Films*. **485** (2005)